

第一章 簡介

帶拒濾波器(BSF)是通訊系統中射頻前端常用的元件，其目的之一是為了抑制不要的虛假響應，進而提升訊號的品質。因為它可用於濾掉一些我們不要的干擾頻率，所以人們將其廣泛的應用在衛星通訊系統、手機通訊與有線電視中。在一般的 TEM 或 quasi-TEM 的窄頻帶拒濾波器中，大致可分為三種。圖 1.1(a)中的電路，主要是利用主傳輸線電耦合到半波長的諧振腔，圖 1.1(b)，則是利用主傳輸線磁耦合到半波長的髮夾式諧振腔；若平面電路為避免接地貫孔，亦可如圖 1.1(c)，其中在圖 1.1 中，每個共振腔均需相隔 $\lambda/4$ [1~3]。

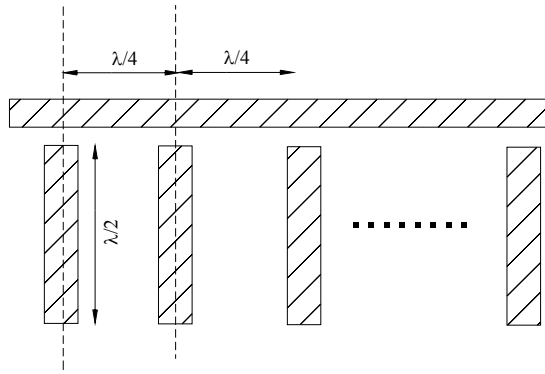
圖 1.2 中每個共振腔由一段耦合長度為 $\lambda/4$ ，與一個開路殘段所組成[4~6]。因形狀的緣故，故稱之為 ”L 型共振腔”。每個 L 型共振腔長度，為此帶拒響應的中心頻率 f_0 所對應到的 $\lambda/2$ 長度。在 BSF 設計方法 [1]中，是利用套裝軟體來做模擬，以建構出電抗 (x/Z_0) 與耦合間距的關係圖。接著，依設計所需之比例頻寬來找出相對應的耦合間距。然而，此方法只能獲得一個粗估值而已，並不符合吾人嚴謹的合成需求。

本論文中以一個平行耦合微帶線帶拒濾波器為基礎，經由其等效電路推導出的合成公式，以獲得設計時所需的線寬與間距，由於平行

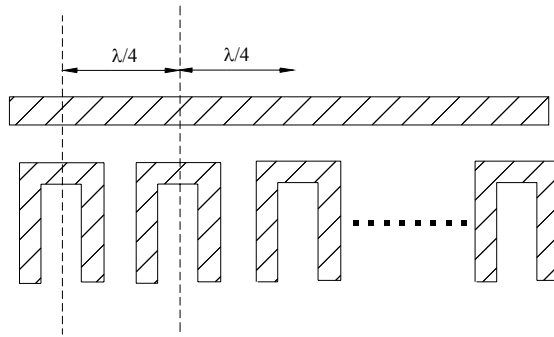
耦合微帶線結構可實現的間距有限，以致於可設計的最高頻寬僅可達 6.5% 左右。為了解決此一問題，本文引進三線的架構，則設計頻寬可增至 12%。

本論文之編排如下：第二章先介紹平行耦合微帶線帶拒濾波器的設計原理；第三章則說明三線帶拒濾波器的設計原理，並藉由帶拒濾波器的等效電路模型相等，找出兩線與三線帶拒濾波器的關係式；第四章是電路模擬與量測結果；第五章為結論。

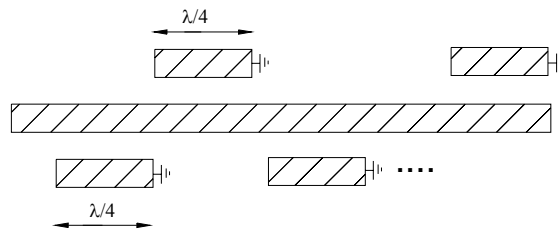




(a)



(b)



(c)

圖 1.1 TEM 或 quasi-TEM 的窄頻帶拒濾波器的結構(a)電耦合

(b)磁耦合(c)混合式耦合

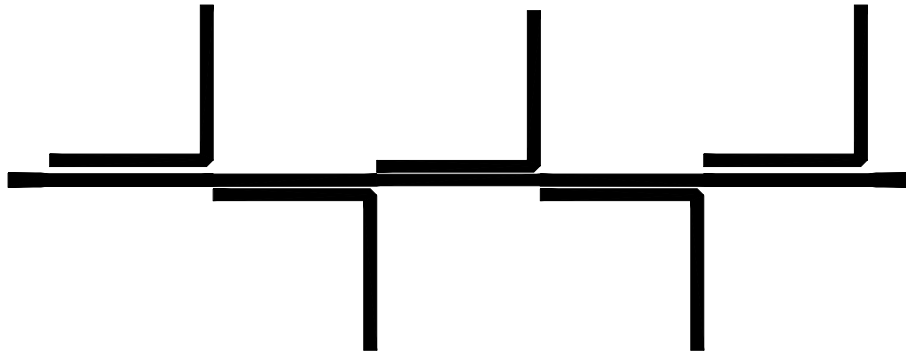


圖 1.2 一個五階帶拒濾波器的電路佈局圖



第二章 平行耦合微帶線帶拒濾波器之設計

本章將以一個單級平行耦合微帶線 (parallel-coupled line microstrip) 為基礎，設計一個窄頻的帶拒 (bandstop) 濾波器。利用平行耦合微帶線的開路阻抗矩陣，可導出此單級帶拒濾波器的開路阻抗矩陣，並求得其等效電路的模型。根據所給定的比例頻寬 $\Delta(\text{FBW})$ 與低通濾波器原型電路中各元件值 g_i ，就可以計算出各耦合級所需的線寬 W 與線距 S ，達到電路合成之目的。

2-1 平行耦合微帶線單耦合級之網路分析



圖 2.1 為一個平行耦合微帶線的剖面圖，圖 2.2 所示為平行耦合線段所形成的四端埠網路，其端埠電壓與電流的定義如圖所示。利用奇偶模與重疊原理，如圖 2.3 所示，可推導出此四端埠網路的開路阻抗矩陣。在此圖中， i_1 與 i_4 兩個電流源使該傳輸線操作於偶模中，而 i_2 與 i_3 兩個電流源使該傳輸線操作於奇模。由重疊原理，端埠的總電流 I_i 以偶模與奇模電路可表示如下：

$$\begin{aligned} I_1 &= i_1 + i_3 \\ I_2 &= i_4 + i_2 \\ I_3 &= i_1 - i_3 \\ I_4 &= i_4 - i_2 \end{aligned} \tag{2.1}$$

先考慮輸入為 i_1 的偶模，如果其他端埠均為開路，端埠 1 與 3 所看到的阻抗為

$$Z_{in}^e = -jZ_{0e} \cot \beta \ell. \quad (2.2)$$

導體上的電壓數學式為

$$v_a^1(z) = v_b^1(z) = V_e^+ [e^{-j\beta(z-\ell)} + e^{j\beta(z-\ell)}] = 2V_e^+ \cos \beta(\ell - z) \quad (2.3)$$

所以在端埠 1 與 3 上的電壓為



$$v_a^1(0) = v_b^1(0) = 2V_e^+ \cos \beta \ell = i_1 Z_{in}^e \quad (2.4)$$

將此式與 (2.2) 合併後，可將 (2.3) 以 i_1 表示為

$$v_a^1(z) = v_b^1(z) = -jZ_{0e} \frac{\cos \beta(\ell - z)}{\sin \beta \ell} i_1 \quad (2.5)$$

同理，以 i_4 為輸入電流的傳輸線偶模電壓為

$$v_a^4(z) = v_b^4(z) = -jZ_{0e} \frac{\cos \beta z}{\sin \beta \ell} i_4 \quad (2.6)$$

再考慮輸入為 i_3 的奇模，同樣其他端埠均為開路，端埠 1 與 3 所看到的阻抗為

$$Z_{in}^o = -jZ_{0o} \cot \beta \ell. \quad (2.7)$$

導體上的電壓為

$$v_a^3(z) = -v_b^3(z) = V_e^+ [e^{-j\beta(z-\ell)} + e^{j\beta(z-\ell)}] = 2V_o^+ \cos \beta(\ell - z) \quad (2.8)$$

端埠 1 與 3 的電壓為

$$v_a^3(0) = -v_b^3(0) = 2V_o^+ \cos \beta \ell = i_3 Z_{in}^o \quad (2.9)$$

此式與 (2.7) 合併後，可將 (2.8) 以 i_3 表示為

$$v_a^3(z) = -v_b^3(z) = -jZ_{0o} \frac{\cos \beta(\ell - z)}{\sin \beta \ell} i_3 \quad (2.10)$$

同理，以 i_2 為輸入電流的傳輸線奇模電壓為

$$v_a^2(z) = -v_b^2(z) = -jZ_{0o} \frac{\cos \beta z}{\sin \beta \ell} i_2 \quad (2.11)$$

所以端埠 1 的總電壓為

$$\begin{aligned} V_1 &= v_a^1(0) + v_a^2(0) + v_a^3(0) + v_a^4(0) \\ &= -j(Z_{oe} i_1 + Z_{0o} i_3) \cot \theta - j(Z_{oe} i_4 + Z_{0o} i_2) \csc \theta \end{aligned} \quad (2.12)$$

式中我們用到 (2.5)、(2.6)、(2.9) 與 (2.11)，且 $\theta = \beta \ell$ ，接著我們將

(2.1) 中的 i_j 解出，並以 I_k 表示：

$$\begin{aligned}
i_1 &= \frac{1}{2}(I_1 + I_3) \\
i_2 &= \frac{1}{2}(I_2 - I_4) \\
i_3 &= \frac{1}{2}(I_1 - I_3) \\
i_4 &= \frac{1}{2}(I_2 + I_4)
\end{aligned} \tag{2.13}$$

將之代入 (2.12) 後，可得

$$\begin{aligned}
V_1 &= \frac{-j}{2}[(Z_{0e} + Z_{0o})I_1 + (Z_{0e} - Z_{0o})I_3] \cot \theta \\
&\quad \frac{-j}{2}[(Z_{0e} - Z_{0o})I_4 + (Z_{0e} + Z_{0o})I_2] \csc \theta
\end{aligned} \tag{2.14}$$

此式為耦合線段 4×4 開路阻抗矩陣 [Z] 中，第一行中的所有四個元素。根據結構的對稱性，只要知道該矩陣的第一行中的所有元素，就可以知道其他的所有元素，各元素的數學式如下：

$$Z_{11} = Z_{33} = Z_{44} = Z_{22} = -\frac{j}{2}(Z_{0e} + Z_{0o}) \cot \theta \tag{2.15a}$$

$$Z_{13} = Z_{31} = Z_{42} = Z_{24} = -\frac{j}{2}(Z_{0e} - Z_{0o}) \cot \theta \tag{2.15b}$$

$$Z_{14} = Z_{41} = Z_{32} = Z_{23} = -\frac{j}{2}(Z_{0e} - Z_{0o}) \csc \theta \tag{2.15c}$$

$$Z_{12} = Z_{21} = Z_{34} = Z_{43} = -\frac{j}{2}(Z_{0e} + Z_{0o}) \csc \theta \tag{2.15d}$$

將上式可整理成 $[V]=[Z][I]$ 的形式

$$\begin{bmatrix} V_1 \\ V_2 \\ V_3 \\ V_4 \end{bmatrix} = \begin{bmatrix} Z_{11} & Z_{12} & Z_{13} & Z_{14} \\ Z_{21} & Z_{22} & Z_{23} & Z_{24} \\ Z_{31} & Z_{32} & Z_{33} & Z_{34} \\ Z_{41} & Z_{42} & Z_{43} & Z_{44} \end{bmatrix} \begin{bmatrix} I_1 \\ I_2 \\ I_3 \\ I_4 \end{bmatrix} = \frac{-j}{2} \begin{bmatrix} Z_{aa} & Z_{ab} \\ Z_{ba} & Z_{bb} \end{bmatrix} \begin{bmatrix} I_1 \\ I_2 \\ I_3 \\ I_4 \end{bmatrix} \quad (2.16)$$

其中

$$Z_{aa} = Z_{bb} = \begin{bmatrix} Z_{0e} \cot \theta + Z_{0o} \cot \theta & Z_{0e} \csc \theta + Z_{0o} \csc \theta \\ Z_{0e} \csc \theta + Z_{0o} \csc \theta & Z_{0e} \cot \theta + Z_{0o} \cot \theta \end{bmatrix}$$

$$Z_{ab} = Z_{ba} = \begin{bmatrix} Z_{0e} \cot \theta - Z_{0o} \cot \theta & Z_{0e} \csc \theta - Z_{0o} \csc \theta \\ Z_{0e} \csc \theta - Z_{0o} \csc \theta & Z_{0e} \cot \theta - Z_{0o} \cot \theta \end{bmatrix}$$

2-2 單級平行耦合微帶線帶拒濾波器分析



圖 2.4 為一個帶拒濾波器的單一耦合級，在端埠 4 的開路殘段傳輸線，假設其特性阻抗為 Z_k 且電氣長度為 θ_k 。根據定義，可以得知 $\theta + \theta_k$ 的長度必須為 $\lambda/2$ 才可達到共振條件。在端埠 4，所看到的輸入阻抗值 Z_4 為

$$Z_4 = \frac{V_4}{-I_4} = Z_k \frac{\infty + jZ_k \tan \theta_k}{Z_k + j\infty \tan \theta_k} = -jZ_k \cot \theta_k \quad (2.17)$$

由 (2.17)，在端埠 4 上的電壓可以 I_4 表示為

$$V_4 = jZ_k I_4 \cot \theta_k \quad (2.18)$$

接著考慮 $I_3 = 0$ (端埠 3 為開路) 的條件，此四端埠網路的 4×4 阻抗矩陣可簡化為一個 3×3 的矩陣，如下：

$$\begin{bmatrix} V_1 \\ V_2 \\ V_4 \end{bmatrix} = \begin{bmatrix} Z_{11} & Z_{12} & Z_{14} \\ Z_{21} & Z_{22} & Z_{24} \\ Z_{41} & Z_{42} & Z_{44} \end{bmatrix} \begin{bmatrix} I_1 \\ I_2 \\ I_4 \end{bmatrix} \quad (2.19)$$


將 (2.18) 代入 (2.19)，若以代數式表示，可得

$$V_1 = Z_{11}I_1 + Z_{12}I_2 + Z_{14}I_4 \quad (2.20a)$$

$$V_2 = Z_{21}I_1 + Z_{22}I_2 + Z_{24}I_4 \quad (2.20b)$$

$$V_4 = Z_{41}I_1 + Z_{42}I_2 + Z_{44}I_4 = jZ_k I_4 \cot \theta_k \quad (2.20c)$$

其中，(2.20c) 可化簡為



$$I_4 = \frac{Z_{41}}{jZ_k \cot \theta_k - Z_{44}} I_1 + \frac{Z_{42}}{jZ_k \cot \theta_k - Z_{44}} I_2 \quad (2.21)$$

再將 (2.21) 代入 (2.20a) 與 (2.20b)，則可將(2.19)進一步簡化為

$$\begin{aligned} V_1 &= Z_{11}I_1 + Z_{12}I_2 \\ V_2 &= Z_{21}I_1 + Z_{22}I_2 \end{aligned} \quad (2.22)$$

其中

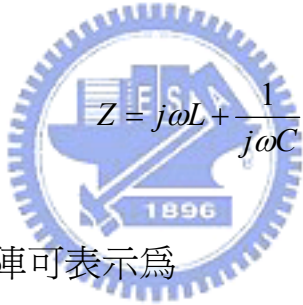
$$Z_{11} = -j \frac{2Z_k(Z_{0e} + Z_{0o}) \cot \theta \cot \theta_k + (Z_{0e} + Z_{0o})^2 \cot^2 \theta - (Z_{0e} - Z_{0o})^2 \csc^2 \theta}{4Z_k \cot \theta_k + 2(Z_{0e} + Z_{0o}) \cot \theta} \quad (2.23a)$$

$$Z_{12} = Z_{21} = -j \frac{2Z_k(Z_{0e} + Z_{0o}) \csc \theta \cot \theta_k + 4Z_{0e}Z_{0o} \csc \theta \cot \theta}{4Z_k \cot \theta_k + 2(Z_{0e} + Z_{0o}) \cot \theta} \quad (2.23b)$$

$$Z_{22} = -j \frac{2Z_k(Z_{0e} + Z_{0o}) \cot \theta \cot \theta_k + 4Z_{0e}Z_{0o} \cot^2 \theta}{4Z_k \cot \theta_k + 2(Z_{0e} + Z_{0o}) \cot \theta} \quad (2.23c)$$

2-3 單級平行耦合微帶線帶拒濾波器之等效電路模型

圖 2.5 為本文所提出的單級帶拒濾波器之等效電路。此等效電路由一阻抗為 Z_A 且電氣長度為 θ 的耦合線段，與一個串聯的 LC 共振電路並聯所組成。其中串聯的 LC 共振電路的輸入阻抗 Z 可表示為



$$Z = j\omega L + \frac{1}{j\omega C} = jX \quad (2.24)$$

此等效電路的 ABCD 矩陣可表示為

$$\begin{bmatrix} A & B \\ C & D \end{bmatrix} = \begin{bmatrix} \cos \theta & jZ_A \sin \theta \\ \frac{j \sin \theta}{Z_A} & \cos \theta \end{bmatrix} \begin{bmatrix} 1 & 0 \\ \frac{1}{jX} & 1 \end{bmatrix} = \begin{bmatrix} \cos \theta + \frac{Z_A}{X} \sin \theta & jZ_A \sin \theta \\ \frac{\cos \theta}{jX} + j \frac{\sin \theta}{Z_A} & \cos \theta \end{bmatrix} \quad (2.25)$$

首先，將 ABCD 矩陣轉為 $[Z]$ 矩陣，則可表示為

$$Z_{11} = \frac{A}{C} = j \frac{\cos \theta + \frac{Z_A}{X} \sin \theta}{\frac{\cos \theta}{X} - \frac{\sin \theta}{Z_A}} = jZ_A \frac{X \cos \theta + Z_A \sin \theta}{Z_A \cos \theta - X \sin \theta} \quad (2.26a)$$

$$Z_{12} = Z_{21} = \frac{1}{C} = j \frac{1}{\frac{\cos \theta}{X} - \frac{\sin \theta}{Z_A}} = jZ_A \frac{1}{\frac{Z_A}{X} \cos \theta - \sin \theta} \quad (2.26b)$$


$$Z_{22} = \frac{D}{C} = j \frac{\cos \theta}{\frac{\cos \theta}{X} - \frac{\sin \theta}{Z_A}} = jZ_A \frac{\cos \theta}{\frac{Z_A}{X} \cos \theta - \sin \theta} \quad (2.26c)$$

接著，因耦合長度接近 $\lambda/4$ ，所以 $\cos \theta \approx 0$ 且 $\sin \theta \approx 1$ ，則 (2.26a) 可表示成

$$Z_{11} \approx jZ_A \frac{\frac{Z_A}{X} \sin \theta}{\frac{Z_A}{X} \cos \theta - \sin \theta} \quad (2.27)$$

另外，在中心頻率 f_0 時，根據串聯 LC 之共振特性， $X=0$ 。由於 $\cos \theta \approx 0$ ，因此必須使用羅必達法則 (L'HOSPITAL rule) 求算 (2.27) 之

極限值



$$\begin{aligned} \frac{\cos \theta}{X} &= \frac{\cos \omega t}{\omega L - \frac{1}{\omega C}} = \frac{\frac{d(\cos \omega t)}{d\omega}}{\frac{d(\omega L - \frac{1}{\omega C})}{d\omega}} \Bigg|_{\omega=\omega_0} \\ &= \frac{-t \sin \omega t}{L + \frac{C}{\omega^2 C^2}} \Bigg|_{\omega=\omega_0} = \frac{-t \sin \omega_0 t}{L + \frac{1}{\omega_0^2 C}} = \frac{-t \sin \omega_0 t}{2L} = -\frac{t}{2L} \end{aligned} \quad (2.28)$$

其中 $\omega_0 = \frac{1}{\sqrt{LC}}$ 且 $t = \frac{\ell}{v_p} = \frac{\ell}{c} \sqrt{\epsilon_{\text{reff}}}$ 。 c 為真空中的光速，而 ℓ 是此帶拒響應中心頻率 f_0 所對應到的 $\lambda/4$ 長度。

令

$$Y = \frac{t}{2L} = \frac{\pi}{4} \sqrt{\frac{C}{L}} \quad \text{當 } \omega = \omega_0 = \frac{1}{\sqrt{LC}} \quad (2.29)$$

將 (2.28)、(2.29) 代入 (2.26) 與 (2.27)，則等效電路的 [Z] 矩陣可表示成

$$Z_{11} = -jZ_A \frac{\frac{Z_A \sin \theta}{X}}{1 + YZ_A} = -jZ_A \frac{\frac{Z_A}{X}}{1 + YZ_A} \quad (2.30a)$$

$$Z_{12} = -jZ_A \frac{1}{1 + YZ_A} \quad (2.30b)$$

$$Z_{22} = -jZ_A \frac{\cos \theta}{1 + YZ_A} \quad (2.30c)$$

2-4 單級平行耦合微帶線帶拒濾波器之設計公式



將 2-2 節所推得的 Z 矩陣與 2-3 節中等效電路的 Z 矩陣相結合，經由數學式的相等，找出彼此間的關係式。

首先，令 (2.23a) 與 (2.30a) 相等，可得

$$Z_{11} = \frac{\frac{Z_A^2}{X}}{1 + YZ_A} = \frac{2Z_k(Z_{0e} + Z_{0o}) \cot \theta \cot \theta_k + (Z_{0e} + Z_{0o})^2 \cot^2 \theta - (Z_{0e} - Z_{0o})^2 \csc^2 \theta}{4Z_k \cot \theta_k + 2(Z_{0e} + Z_{0o}) \cot \theta} \quad (2.31)$$

則 (2.31) 可表示為

$$\frac{\cos \theta}{X} \frac{Z_A^2}{1 + YZ_A} = \frac{-(Z_{0e} - Z_{0o})^2}{2(Z_{0e} + Z_{0o} + 2Z_k)} \quad \text{當 } \theta \approx 90^\circ \text{ 且 } \theta_k \approx 90^\circ \quad (2.32)$$

將 (2.28) 代入 (2.32) 後，可得

$$\frac{YZ_A^2}{1+YZ_A} = \frac{(Z_{0e} - Z_{0o})^2}{2(Z_{0e} + Z_{0o} + 2Z_k)} \quad (2.33)$$

同理，令 (2.23b) 與 (2.30b) 相等，可得

$$Z_{12} = \frac{Z_A}{1+YZ_A} = \frac{2Z_k(Z_{0e} + Z_{0o}) \csc \theta \cot \theta_k + 4Z_{0e}Z_{0o} \csc \theta \cot \theta}{4Z_k \cot \theta_k + 2(Z_{0e} + Z_{0o}) \cot \theta} \quad (2.34)$$

則 (2.34) 可表示為

$$\frac{Z_A}{1+YZ_A} = \frac{Z_k(Z_{0e} + Z_{0o}) + 2Z_{0e}Z_{0o}}{2Z_k + Z_{0e} + Z_{0o}} \quad \text{當 } \theta \approx 90^\circ \text{ 且 } \theta_k \approx 90^\circ \quad (2.35)$$

由 (2.23c) 與 (2.30c) 相等，可得

$$Z_{22} = \frac{Z_A \cos \theta}{1+YZ_A} = \frac{2Z_k(Z_{0e} + Z_{0o}) \cot \theta \cot \theta_k + 4Z_{0e}Z_{0o} \cot^2 \theta}{4Z_k \cot \theta_k + 2(Z_{0e} + Z_{0o}) \cot \theta} \quad (2.36)$$

則 (2.36) 可表示為

$$\frac{Z_A}{1+YZ_A} = \frac{Z_k(Z_{0e} + Z_{0o}) + 2Z_{0e}Z_{0o}}{2Z_k + Z_{0e} + Z_{0o}} \quad \text{當 } \theta \approx 90^\circ \text{ 且 } \theta_k \approx 90^\circ \quad (2.37)$$

其中 (2.35) 與 (2.37) 為相同的結果。

整合 (2.33)、(2.35) 與 (2.37)，可得下述二式

$$\frac{YZ_A^2}{1+YZ_A} = \frac{(Z_{0e} - Z_{0o})^2}{2(Z_{0e} + Z_{0o} + 2Z_k)} \quad (2.38)$$

$$\frac{Z_A}{1+YZ_A} = \frac{Z_k(Z_{0e} + Z_{0o}) + 2Z_{0e}Z_{0o}}{Z_{0e} + Z_{0o} + 2Z_k} \quad (2.39)$$

爲了簡化，令 $\frac{Z_A}{1+YZ_A} = K$ 且 $\frac{YZ_A^2}{1+YZ_A} = YZ_A K = K_1$ 。經由代數處理後，

可將 Z_{0e} 及 Z_{0o} 表爲

$$Z_{0e} = \frac{(Z_k - K)K_1 - K(K + Z_k) - (Z_k - K)\sqrt{K_1^2 + KK_1 + K_1Z_k}}{-K - Z_k - 2K_1 + 2\sqrt{K_1^2 + KK_1 + K_1Z_k}} \quad (2.40)$$

與

$$Z_{0o} = K + K_1 - \sqrt{K_1^2 + KK_1 + K_1Z_k} \quad (2.41)$$

2-5 多級平行耦合微帶線帶拒濾波器之設計與合成

圖 2.6 所示爲一個多級平行耦合微帶線帶拒濾波器的實際電路佈局圖，在本節中將探討其合成。如圖 2.7 所示，低通原型濾波器的設計，可以轉換到帶拒的頻率響應[7]。若 ω_1 與 ω_2 爲帶拒的兩個邊緣頻率，則帶拒的響應可經由低通濾波器，用以下的頻率轉換得到

$$\omega \leftarrow -\Delta \left(\frac{\omega}{\omega_0} - \frac{\omega_0}{\omega} \right)^{-1} \quad (2.42)$$

其中

$$\Delta \equiv FBW = \frac{\omega_2 - \omega_1}{\omega_0}$$

稱爲帶拒濾波器的比例頻寬。中心頻率 ω_0 可選爲 ω_1 與 ω_2 的算術

平均數，不過，若選為幾何平均數，整個數學式會比較簡單：

$$\omega_0 = \sqrt{\omega_1 \omega_2} \quad (2.43)$$

新濾波器元件值可由(2.42)代入串聯電抗與並聯電納中求得：

$$jX_k = -j\Delta \left(\frac{\omega}{\omega_0} - \frac{\omega_0}{\omega} \right)^{-1} L = j\omega L_p // \frac{1}{j\omega C_p} = \left(\frac{1}{j\omega L_p} + j\omega C_p \right)^{-1} \quad (2.44)$$

低通濾波原型中的串聯電感 L 轉換成並聯的 LC 電路，其元件值可表為：

$$\omega_0 L_p = \frac{1}{\omega_0 C_p} = \Delta \times g_i \quad (2.45)$$

同理，

$$jB_k = -j\Delta \left(\frac{\omega}{\omega_0} - \frac{\omega_0}{\omega} \right)^{-1} C = \frac{1}{j\omega L_s + \frac{1}{j\omega C_s}} = \left(j\omega L_s + \frac{1}{j\omega C_s} \right)^{-1} \quad (2.46)$$

低通濾波原型中的並聯電容 C 轉換成串聯的 LC 電路，經簡化後，其元件值可表為：

$$\omega_0 L_s = \frac{1}{\omega_0 C_s} = \frac{1}{\Delta \times g_i} \quad (2.47)$$

因本文所提出之等效電路模型為串聯的 LC 共振電路，所以採用(2.47) 為合成所需之公式。

根據所給定的比例頻寬與低通濾波器原型電路中各元件值 g_i 代入 (2.47)中，即可求得各耦合級的電感與電容值。最後，由 2-4 節中的 Z_{oo} 與 Z_{oe} 公式，並依據耦合微帶線的偶模與奇模特性阻抗設

計曲線圖，即可計算出各耦合級所需的線寬 W 與線距 S ，以達到電路合成之目的。



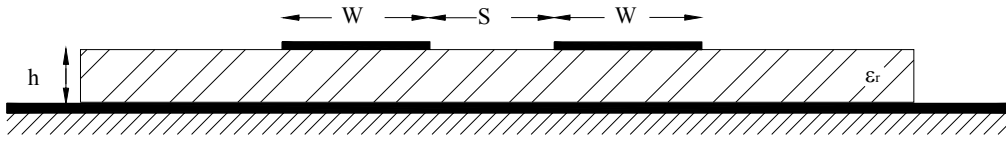


圖 2.1 耦合微帶線的剖面圖

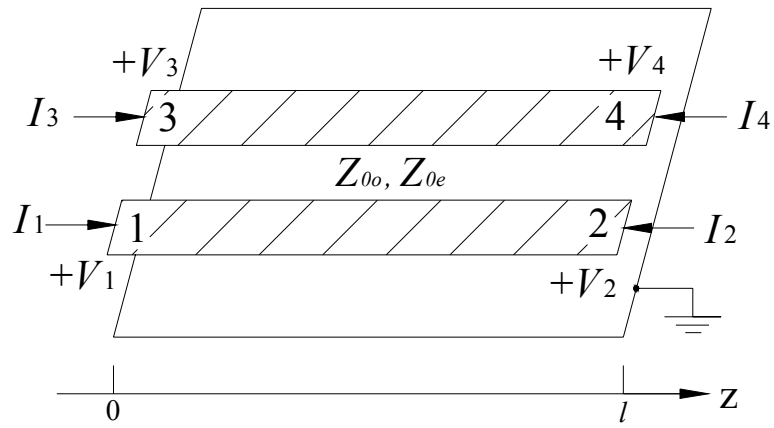


圖 2.2 平行耦合線段端埠電壓與電流的定義

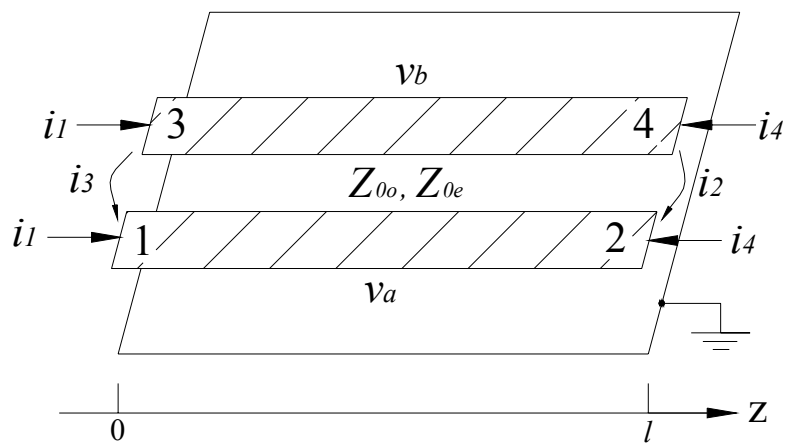


圖 2.3 平行耦合線段的奇、偶模電流

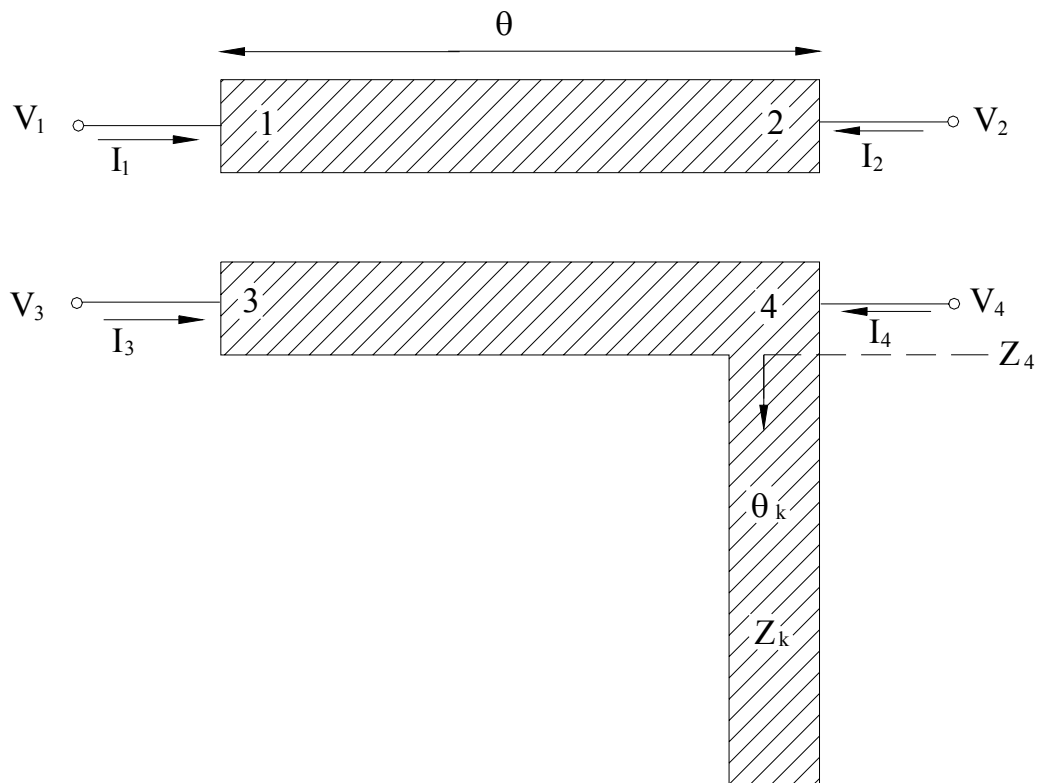


圖 2.4 一個平行耦合微帶線帶拒濾波器的單一耦合級

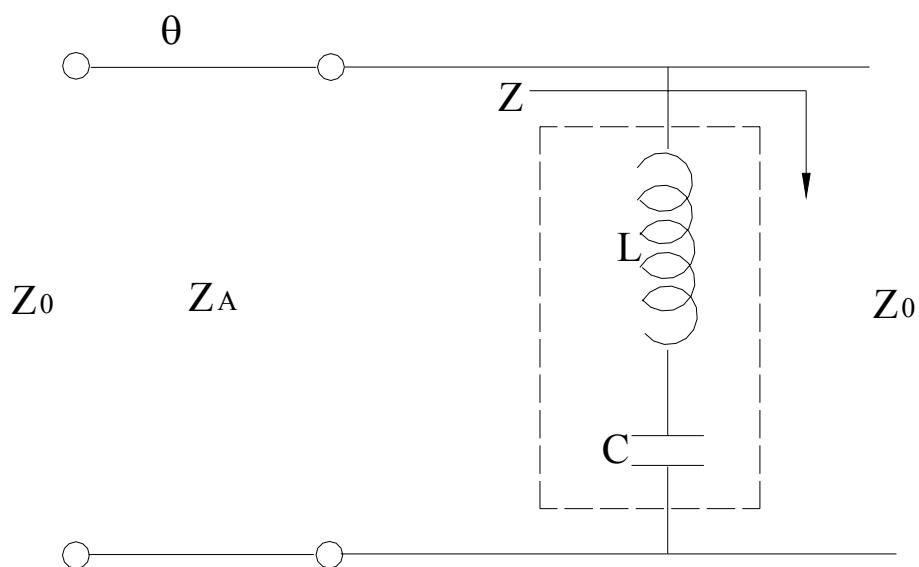


圖 2.5 單級帶拒濾波器的等效電路圖

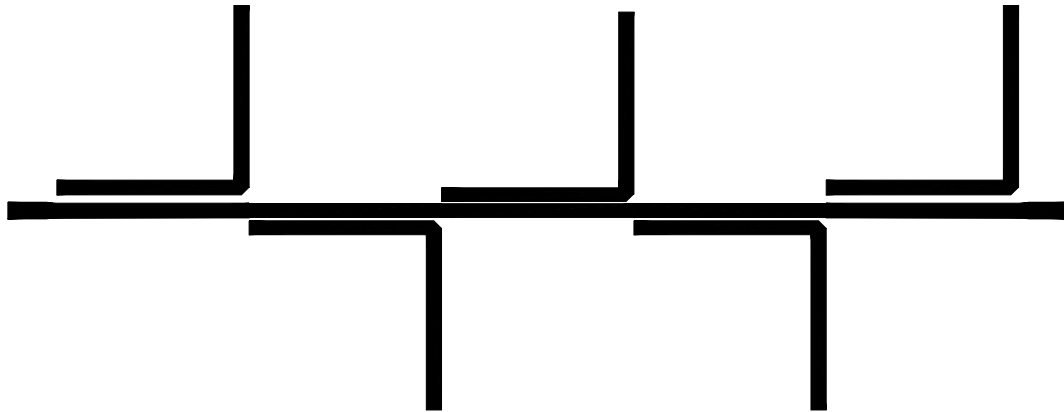


圖 2.6 多級平行耦合微帶線帶拒濾波器的實際電路佈局圖

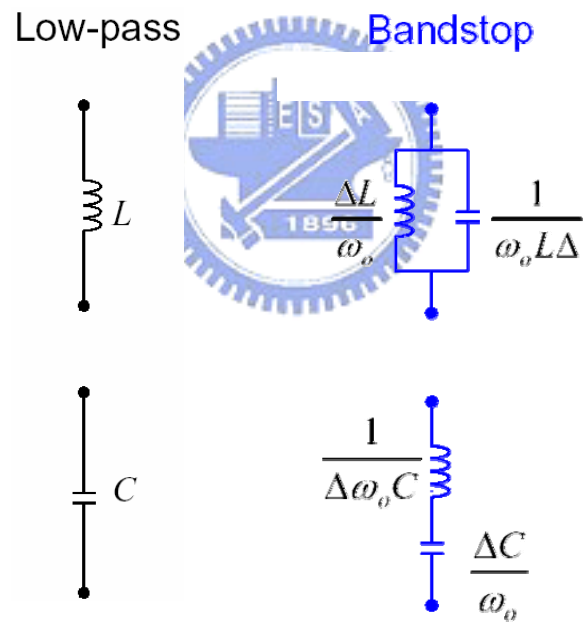


圖 2.7 低通到帶拒響應的轉換

第三章 平行耦合三線微帶線帶拒濾波器之設計

本章提出平行耦合三線微帶線結構 (parallel coupled three-line microstrip) 為耦合級，以設計一個窄頻的帶拒濾波器。藉由第二章的分析結果及等效電路的建立，求出三線結構所需的設計與合成公式。根據所給定的比例頻寬與低通濾波器原型電路中各元件值 g_i ，就可以計算出各耦合級所需的線寬 W 與線距 S ，達到電路合成之目的。

3-1 平行耦合三線微帶線單耦合級之網路分析




圖 3.1 為一個平行耦合三線微帶線的剖面圖，圖 3.2 所示為平行耦合三線線段所形成的六端埠網路，其端埠電壓與電流如圖所示，為簡化分析，此三條微帶線具有相同的線寬 W 與線距 S ，亦即整個電路為對稱結構。在此結構中，共有三種 quasi-TEM 的模態。令 $[L]$ 與 $[C]$ 分別為這個結構中的單位長度電感與電容矩陣，這兩者可經由空間頻域法 (SDA) 來求算 [8~10]。 $[L][C]$ 矩陣乘積的特徵向量即為三個主模的特徵電壓矩陣 $[M_v]$ 。根據結構的對稱性，特徵電壓矩陣 $[M_v]$ 可表為

$$[M_V] = \begin{bmatrix} \frac{1}{\sqrt{m_1^2 + 2}} & \frac{1}{\sqrt{2}} & \frac{1}{\sqrt{m_3^2 + 2}} \\ \frac{m_1}{\sqrt{m_1^2 + 2}} & 0 & -\frac{m_3}{\sqrt{m_3^2 + 2}} \\ \frac{1}{\sqrt{m_1^2 + 2}} & -\frac{1}{\sqrt{2}} & \frac{1}{\sqrt{m_3^2 + 2}} \end{bmatrix} \quad (3.1)$$

此六端埠網路的阻抗矩陣可表示如下：

$$\begin{bmatrix} V_a \\ V_b \end{bmatrix} = \begin{bmatrix} Z_a & Z_b \\ Z_b & Z_a \end{bmatrix} \begin{bmatrix} I_a \\ I_b \end{bmatrix} \quad (3.2)$$

其中

$$[V_a] = [V_3, V_1, V_5]^T, \quad (3.3a)$$

$$[V_b] = [V_4, V_2, V_6]^T, \quad (3.3b)$$

$$[I_a] = [I_3, I_1, I_5]^T, \quad (3.3c)$$

$$[I_b] = [I_4, I_2, I_6]^T. \quad (3.3d)$$

且

$$[Z_a] = [M_V] \text{diag}[-jZ_{mi} \cot \theta_i] [M_V]^T \quad (3.4a)$$

$$[Z_b] = [M_V] \text{diag}[-jZ_{mi} \csc \theta_i] [M_V]^T \quad (3.4b)$$

(3.4a) 與 (3.4b) 中， $\theta_i = \beta_i \ell$ ， β_i 為第 i 個主模的相位常數， ℓ 為長度。其中阻抗矩陣 $[Z_a]$ 與 $[Z_b]$ 的推導可以參考[11]。

令 $C_i = \cot \theta_i$ ，並將 (3.1) 代入 (3.4a)，則 (3.4a) 可表為

$$[Z_a] = (-j) \begin{bmatrix} \frac{Z_{o1}C_1}{\sqrt{m_1^2+2}} & \frac{Z_{o2}C_2}{\sqrt{2}} & \frac{Z_{o3}C_3}{\sqrt{m_3^2+2}} \\ \frac{m_1Z_{o1}C_1}{\sqrt{m_1^2+2}} & 0 & -\frac{m_3Z_{o3}C_3}{\sqrt{m_3^2+2}} \\ \frac{Z_{o1}C_1}{\sqrt{m_1^2+2}} & -\frac{Z_{o2}C_2}{\sqrt{2}} & \frac{Z_{o3}C_3}{\sqrt{m_3^2+2}} \end{bmatrix} \begin{bmatrix} \frac{1}{\sqrt{m_1^2+2}} & \frac{m_1}{\sqrt{m_1^2+2}} & \frac{1}{\sqrt{m_1^2+2}} \\ \frac{1}{\sqrt{2}} & 0 & -\frac{1}{\sqrt{2}} \\ \frac{1}{\sqrt{m_3^2+2}} & -\frac{m_3}{\sqrt{m_3^2+2}} & \frac{1}{\sqrt{m_3^2+2}} \end{bmatrix} \quad (3.5)$$

令

$$Z_{mi} = \frac{Z_{oi}}{m_i^2 + 2} \quad (3.6)$$

其中 Z_{oi} 為第 i 個主模的特性阻抗且 $m_2 = 0$, $i=1,2,3$, Z_{oi} 的求解可以參考[11]。

將 (3.5) 的矩陣乘開後，可得

$$[Z_a]_{11} = [Z_a]_{33} = (-j) \left(\frac{Z_{o1}C_1}{m_1^2 + 2} + \frac{Z_{o2}C_2}{2} + \frac{Z_{o3}C_3}{m_3^2 + 2} \right) = (-j)(Z_{m1}C_1 + Z_{m2}C_2 + Z_{m3}C_3) \\ \approx -jC(Z_{m1} + Z_{m2} + Z_{m3}) \quad (3.7a)$$

$$[Z_a]_{12} = [Z_a]_{21} = [Z_a]_{23} = [Z_a]_{32} = (-j)(m_1Z_{m1}C_1 - m_3Z_{m3}C_3) \approx -jC(m_1Z_{m1} - m_3Z_{m3}) \quad (3.7b)$$

$$[Z_a]_{13} = [Z_a]_{31} = (-j) \left(\frac{Z_{o1}C_1}{m_1^2 + 2} - \frac{Z_{o2}C_2}{2} + \frac{Z_{o3}C_3}{m_3^2 + 2} \right) = (-j)(Z_{m1}C_1 - Z_{m2}C_2 + Z_{m3}C_3) \\ \approx -jC(Z_{m1} - Z_{m2} + Z_{m3}) \quad (3.7c)$$

$$[Z_a]_{22} = (-j) \left(\frac{m_1^2 Z_{o1} C_1}{m_1^2 + 2} + \frac{m_3^2 Z_{o3} C_3}{m_3^2 + 2} \right) = (-j) (m_1^2 Z_{m1} C_1 + m_3^2 Z_{m3} C_3) \approx -jC (m_1^2 Z_{m1} + m_3^2 Z_{m3}) \quad (3.7d)$$

同理，令 $D_i = \csc \theta_i$ ，則 (3.4b) 可表示為

$$[Z_b]_{11} = [Z_b]_{33} = (-j) \left(\frac{Z_{o1} D_1}{m_1^2 + 2} + \frac{Z_{o2} D_2}{2} + \frac{Z_{o3} D_3}{m_3^2 + 2} \right) = (-j) (Z_{m1} D_1 + Z_{m2} D_2 + Z_{m3} D_3) \approx -jD (Z_{m1} + Z_{m2} + Z_{m3}) \quad (3.8a)$$

$$[Z_b]_{12} = [Z_b]_{21} = [Z_b]_{23} = [Z_b]_{32} = (-j) (m_1 Z_{m1} D_1 - m_3 Z_{m3} D_3) \approx -jD (m_1 Z_{m1} - m_3 Z_{m3}) \quad (3.8b)$$

$$[Z_b]_{13} = [Z_b]_{31} = (-j) \left(\frac{Z_{o1} D_1}{m_1^2 + 2} - \frac{Z_{o2} D_2}{2} + \frac{Z_{o3} D_3}{m_3^2 + 2} \right) = (-j) (Z_{m1} D_1 - Z_{m2} D_2 + Z_{m3} D_3) \approx -jD (Z_{m1} - Z_{m2} + Z_{m3}) \quad (3.8c)$$

$$[Z_b]_{22} = (-j) \left(\frac{m_1^2 Z_{o1} D_1}{m_1^2 + 2} + \frac{m_3^2 Z_{o3} D_3}{m_3^2 + 2} \right) = (-j) (m_1^2 Z_{m1} D_1 + m_3^2 Z_{m3} D_3) \approx -jD (m_1^2 Z_{m1} + m_3^2 Z_{m3}) \quad (3.8d)$$

3-2 平行耦合三線微帶線帶拒濾波器分析

圖 3.3 為一個三線帶拒濾波器的單一耦合級，在端埠 4 與 6 中所看到的輸入阻抗值 Z_4 與 Z_6 為

$$Z_4 = Z_6 = \frac{V_4}{-I_4} = Z_k \frac{\infty + jZ_k \tan \theta_k}{Z_k + j\infty \tan \theta_k} = -jZ_k \cot \theta_k \quad (3.9)$$

由 (3.9)，在端埠 4 與 6 上的電壓皆可以 I_4 表示為

$$V_4 = V_6 = jZ_k I_4 \cot \theta_k \quad (3.10)$$

考慮 $I_3 = I_5 = 0$ (端埠 3 與 5 均為開路) 的條件，此六端埠網路的 6×6 阻抗矩陣可簡化為一個 4×4 的矩陣，如下

$$\begin{bmatrix} V_1 \\ V_4 \\ V_2 \\ V_6 \end{bmatrix} = \begin{bmatrix} Z_{a22} & Z_{b12} & Z_{b22} & Z_{b12} \\ Z_{b12} & Z_{a11} & Z_{a12} & Z_{a13} \\ Z_{b22} & Z_{a12} & Z_{a22} & Z_{a12} \\ Z_{b12} & Z_{a13} & Z_{a12} & Z_{a11} \end{bmatrix} \begin{bmatrix} I_1 \\ I_4 \\ I_2 \\ I_6 \end{bmatrix} \quad (3.11)$$

將 (3.10) 代入 (3.11) 可得

$$\begin{bmatrix} V_1 \\ V_4 \\ V_2 \end{bmatrix} = \begin{bmatrix} Z_{a22} & Z_{b12} + Z_{b12} & Z_{b22} \\ Z_{b12} & Z_{a11} + Z_{a13} & Z_{a12} \\ Z_{b22} & Z_{a12} + Z_{a12} & Z_{a22} \end{bmatrix} \begin{bmatrix} I_1 \\ I_4 \\ I_2 \end{bmatrix} \quad (3.12)$$

若以代數式表示，可得

$$V_1 = Z_{a22} I_1 + 2Z_{b12} I_4 + Z_{b22} I_2 \quad (3.13a)$$

$$V_4 = Z_{b12} I_1 + (Z_{a11} + Z_{a13}) I_4 + Z_{a12} I_2 \quad (3.13b)$$

$$V_2 = Z_{b22} I_1 + 2Z_{a12} I_4 + Z_{a22} I_2 \quad (3.13c)$$

將 (3.10) 代入 (3.13b)，可得

$$I_4 = \frac{-Z_{b12}}{Z_{a11} + Z_{a13} - jZ_k \cot \theta_k} I_1 - \frac{Z_{a12}}{Z_{a11} + Z_{a13} - jZ_k \cot \theta_k} I_2 \quad (3.14)$$

再將 (3.14) 代入 (3.13a) 與 (3.13c)，則可將三端埠網路的 3×3 阻抗矩陣簡化為一個 2×2 的矩陣，如下

$$\begin{aligned} V_1 &= Z_{11}I_1 + Z_{12}I_2 \\ V_2 &= Z_{21}I_1 + Z_{22}I_2 \end{aligned} \quad (3.15)$$

其中

$$Z_{11} = \frac{2D^2(m_1Z_{m1} - m_3Z_{m3})^2 - C(m_1^2Z_{m1} + m_3^2Z_{m3})[2C(Z_{m1} + Z_{m3}) + Z_k \cot \theta_k]}{2C(Z_{m1} + Z_{m3}) + Z_k \cot \theta_k} \quad (3.16a)$$

$$Z_{12} = Z_{21} = \frac{2CD(m_1Z_{m1} - m_3Z_{m3})^2 - D(m_1^2Z_{m1} + m_3^2Z_{m3})[2C(Z_{m1} + Z_{m3}) + Z_k \cot \theta_k]}{2C(Z_{m1} + Z_{m3}) + Z_k \cot \theta_k} \quad (3.16b)$$

$$Z_{22} = \frac{2C^2(m_1Z_{m1} - m_3Z_{m3})^2 - C(m_1^2Z_{m1} + m_3^2Z_{m3})[2C(Z_{m1} + Z_{m3}) + Z_k \cot \theta_k]}{2C(Z_{m1} + Z_{m3}) + Z_k \cot \theta_k} \quad (3.16c)$$

3-3 單級三線帶拒濾波器之等效電路

圖 3.3 之網路的等效電路與 2-3 節中所提出之帶拒濾波器的等效電路相等，故可利用此相等性，推得三線結構的設計與合成公式。

首先，令 (2.30a) 與 (3.16a) 相等，可得

$$Z_{11} = \frac{\frac{Z_A^2}{X}}{1 + YZ_A} = \frac{2D^2(m_1Z_{m1} - m_3Z_{m3})^2 - C(m_1^2Z_{m1} + m_3^2Z_{m3})[2C(Z_{m1} + Z_{m3}) + Z_k \cot \theta_k]}{2C(Z_{m1} + Z_{m3}) + Z_k \cot \theta_k} \quad (3.17)$$

則 (3.17) 可表示為

$$\frac{YZ_A^2}{1 + YZ_A} = \frac{2(m_1Z_{m1} - m_3Z_{m3})^2}{2(Z_{m1} + Z_{m3}) + Z_k} \quad \text{當 } \theta \approx 90^\circ \text{ 且 } \theta_k \approx 90^\circ \quad (3.18)$$

同理，令 (2.30b) 與 (3.16b) 相等，可得

$$Z_{12} = \frac{Z_A}{1 + YZ_A} = \frac{2CD(m_1Z_{m1} - m_3Z_{m3})^2 - D(m_1^2Z_{m1} + m_3^2Z_{m3})[2C(Z_{m1} + Z_{m3}) + Z_k \cot \theta_k]}{2C(Z_{m1} + Z_{m3}) + Z_k \cot \theta_k} \quad (3.19)$$

當 $\theta \approx 90^\circ$ 且 $\theta_k \approx 90^\circ$ ，則 (3.19) 可表示為

$$\frac{Z_A}{1 + YZ_A} = \frac{(m_1^2Z_{m1} + m_3^2Z_{m3})(2Z_{m1} + 2Z_{m3} + Z_k) - 2(m_1Z_{m1} - m_3Z_{m3})^2}{2(Z_{m1} + Z_{m3}) + Z_k} \quad (3.20)$$

由 (2.30c) 與 (3.16c) 相等，可得

$$Z_{22} = \frac{Z_A \cos \theta}{1 + YZ_A} = \frac{2C^2(m_1Z_{m1} - m_3Z_{m3})^2 - C(m_1^2Z_{m1} + m_3^2Z_{m3})[2C(Z_{m1} + Z_{m3}) + Z_k \cot \theta_k]}{2C(Z_{m1} + Z_{m3}) + Z_k \cot \theta_k} \quad (3.21)$$

當 $\theta \approx 90^\circ$ 且 $\theta_k \approx 90^\circ$ ，則 (3.21) 可表示為

$$\frac{Z_A}{1+YZ_A} = \frac{(m_1^2 Z_{m1} + m_3^2 Z_{m3})(2Z_{m1} + 2Z_{m3} + Z_k) - 2(m_1 Z_{m1} - m_3 Z_{m3})^2}{2(Z_{m1} + Z_{m3}) + Z_k} \quad (3.22)$$

其中 (3.20) 與 (3.22) 為相同的結果。

整合 (3.18)、(3.20) 與 (3.22)，可得下述二式

$$\frac{YZ_A^2}{1+YZ_A} = \frac{2(m_1 Z_{m1} - m_3 Z_{m3})^2}{2(Z_{m1} + Z_{m3}) + Z_k} \quad (3.23)$$

與

$$\frac{Z_A}{1+YZ_A} = \frac{(m_1^2 Z_{m1} + m_3^2 Z_{m3})(2Z_{m1} + 2Z_{m3} + Z_k) - 2(m_1 Z_{m1} - m_3 Z_{m3})^2}{2(Z_{m1} + Z_{m3}) + Z_k} \quad (3.24)$$

將 (3.23)、(3.24) 分別與 (2.38)、(2.39) 做分析，可得

$$\frac{2(m_1 Z_{m1} - m_3 Z_{m3})^2}{2(Z_{m1} + Z_{m3}) + Z_k} = \frac{(Z_{0e} - Z_{0o})^2}{2(Z_{0e} + Z_{0o} + 2Z_k)} \quad (3.25)$$

與

$$\frac{(m_1^2 Z_{m1} + m_3^2 Z_{m3})(2Z_{m1} + 2Z_{m3} + Z_k) - 2(m_1 Z_{m1} - m_3 Z_{m3})^2}{2(Z_{m1} + Z_{m3}) + Z_k} = \frac{Z_k(Z_{0e} + Z_{0o}) + 2Z_{0e}Z_{0o}}{Z_{0e} + Z_{0o} + 2Z_k} \quad (3.26)$$

爲了簡化，引進下述條件

$$m_1^2 + m_3^2 \approx 2m_1 m_3 \quad (3.27)$$

由 (2.23a ~ 2.23c)、(3.16a ~ 3.16c)、(3.25) 與 (3.26)，可求得兩線與

三線的關係式

$$Z_{0e} \approx \frac{2\sqrt{2}m_1Z_{01}}{m_1^2 + 2} = 2\sqrt{2} \times m_1Z_{m1} \quad (3.28)$$

與

$$Z_{0o} \approx \frac{2\sqrt{2}m_3Z_{03}}{m_3^2 + 2} = 2\sqrt{2} \times m_3Z_{m3} \quad (3.29)$$

由 (3.28) 與 (3.29) 可知，三線結構中的 m_1Z_{m1} 與 m_3Z_{m3} 所扮演的角色與兩線中的 $Z_{0e}/2\sqrt{2}$ 與 $Z_{0o}/2\sqrt{2}$ 相同。所以根據兩線中的 Z_{0e} 與 Z_{0o} 值，可找出相對應之三線的 W 與 S 值。多級帶拒濾波器的合成原理，則與第二章相同。



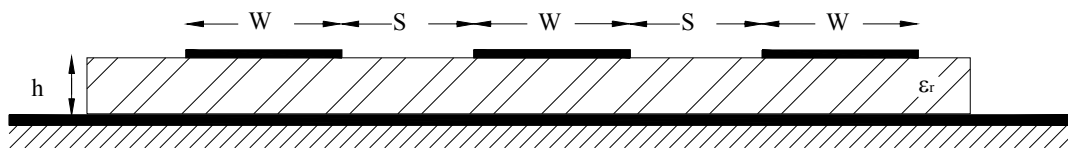


圖 3.1 平行耦合三線微帶線的剖面圖

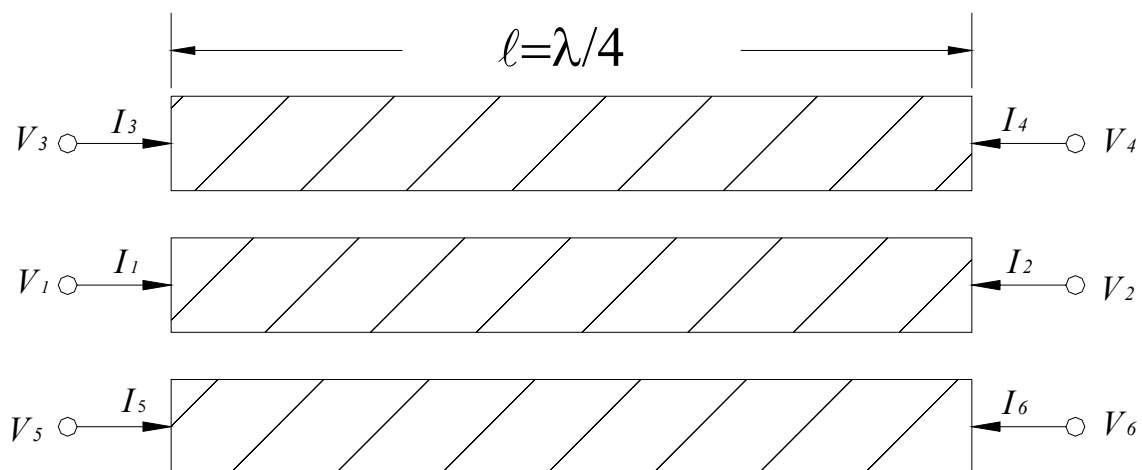


圖 3.2 三線線段端埠電壓與電流的定義

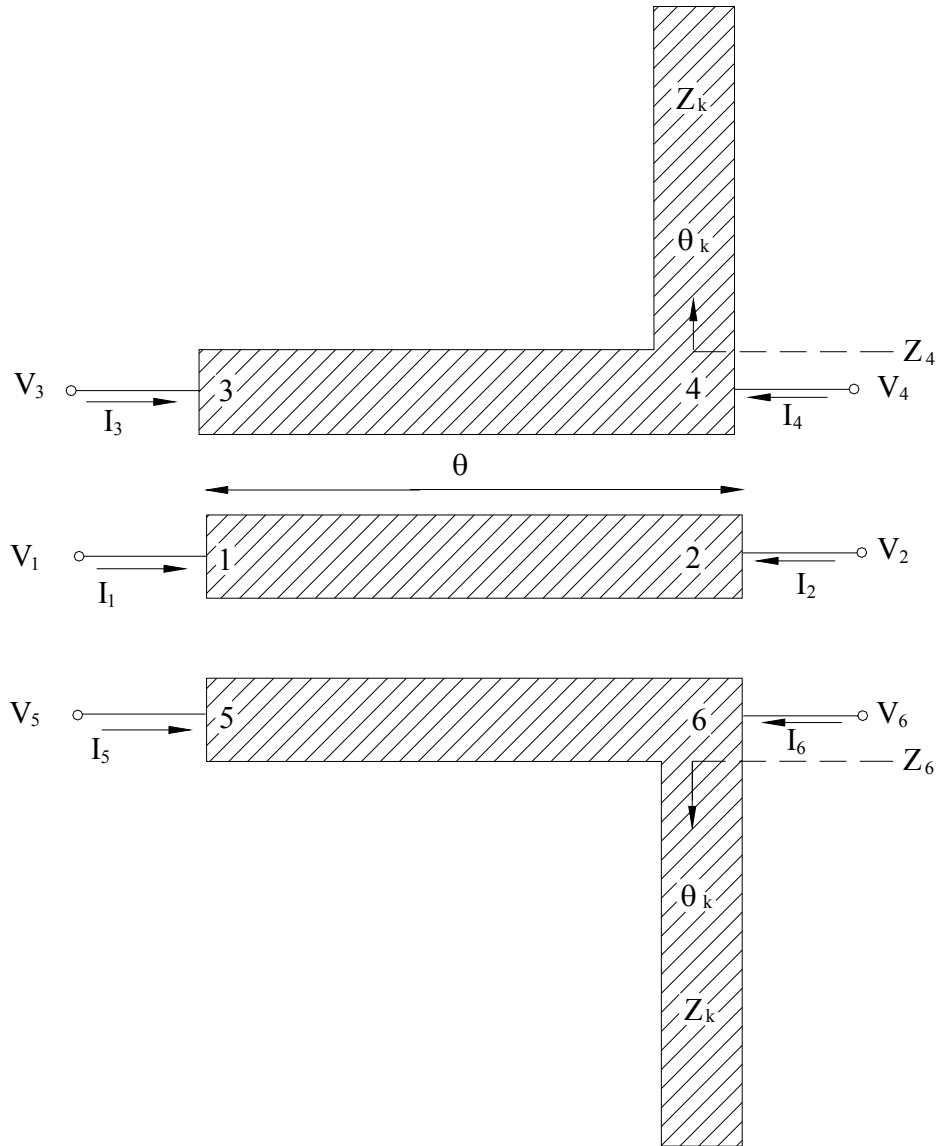


圖 3.3 一個三線帶拒濾波器的單一耦合級

第四章 電路模擬與量測結果

窄頻帶拒濾波器的設計流程包含階數的選擇、可合成的頻寬範圍、開路殘段傳輸線阻抗 Z_k 與耦合級形式的選擇，在本章中將分別對之前的討論做一些實際電路的驗證。以下的電路皆使用基板型號為 RT/Duroid 6010，相對介電常數為 $\epsilon_r = 10.2$ ，介質厚度為 1.27 mm 的板子，所使用的量測儀器為 HP8722D 網路分析儀。本論文設計的帶拒濾波器規格為：中心頻率為 2 GHz，極平坦響應，耦合線段特性阻抗 $Z_A = 50 (\Omega)$ 。文中並針對 Z_k 值的變化，探討其對比例頻寬所造成的影響。



4-1 一階電路

極平坦低通濾波器原型電路中之一階元件值 $g_1 = 2$ 。

4-1.1 平行耦合微帶線帶拒濾波器 (兩線)

由 2-4 節的方法可求得此單一耦合級的 Z_{0e} 與 Z_{0o} 值，並根據圖 4.1 找出設計所需的線寬 W 與線距 S ，其中圖 4.1 係由 SDA 法所求算 [9, 10]。在本節中，將分別探討比例頻寬為 2.5%、5% 與 10% 的三個電路，並整理於表 4-1。

表 4-1 一階平行耦合微帶線帶拒濾波器，在不同比例頻寬與開路殘

段傳輸線阻抗的模擬結果對照表

比例頻寬	Z_k (Ω)	W (mm) S (mm)	模擬結果
2.5%	40	W=1.145 S=0.572	2.6%
	50	W=1.14 S=0.51	2.75%
	60	W=1.133 S=0.475	2.64%
	70	W=1.128 S=0.435	2.65%
5.0%	40	W=1.093 S=0.265	4.86%
	50	W=1.082 S=0.226	4.86%
	60	W=1.07 S=0.194	4.87%
	70	W=1.06 S=0.167	4.9%
10.0%	40	W=0.996 S=0.07	9.23%
	50	W=0.974 S=0.051	9.24%
	60	W=0.952 S=0.036	9.24%
	70	W=0.931 S=0.0255	9.3%

由表 4-1 中可以看出，由於線距可實現的最小尺寸為 0.13 mm 左右，故平行耦合微帶線帶拒濾波器可實現的比例頻寬約為 6% 左右。在相同的線距下，隨著 Z_k 值的減少，可設計較大的比例頻寬。圖 4.2

為平行耦合微帶線帶拒濾波器在不同比例頻寬下，開路殘段傳輸線阻抗與線距的關係圖。

4-1.2 平行耦合三線微帶線帶拒濾波器 (三線)

依據 4-1.1 所求得之 Z_{0e} 與 Z_{0o} 值，代入 (3.28)、(3.29)，經由 SDA 法找出三線結構中 $m_1 Z_{m1}$ 與 $m_3 Z_{m3}$ 所對應到的 W 與 S 值。將兩線與三線帶拒濾波器，在不同比例頻寬與開路殘段傳輸線阻抗下，間距與模擬結果做比較，並整理於表 4-2。

表 4-2 一階平行耦合兩線與三線帶拒濾波器，在不同比例頻寬與開路殘段傳輸線阻抗下，線距與模擬結果的比較表

$Z_k (\Omega)$	比例頻寬	S (mm)	兩線	模擬結果
			三線 三線 (S 與兩線同)	
40	2.5%		S=0.572	2.6%
			S=0.935	2.77%
			S=0.572	4.75%
	5.0%		S=0.265	4.86%
			S=0.556	4.87%
			S=0.265	8.75%
	10.0%		S=0.07	9.23%
			S=0.252	9.48%
			S=0.07	16.22%

50	2.5%	S=0.51	2.75%
		S=0.875	2.67%
		S=0.51	4.61%
	5.0%	S=0.226	4.86%
		S=0.5	4.92%
		S=0.226	8.7%
	10.0%	S=0.051	9.24%
		S=0.21	9.49%
		S=0.051	15.78%
60	2.5%	S=0.475	2.64%
		S=0.858	2.654%
		S=0.475	4.69%
	5.0%	S=0.194	4.87%
		S=0.457	4.7%
		S=0.194	8.52%
	10.0%	S=0.036	9.24%
		S=0.1746	9.61%
		S=0.036	16.15%

由表 4-2 中可以看出，因三線結構為上下對稱，故耦合量較大。在相同的設計頻寬與開路殘段傳輸線阻抗下，三線的線距較兩線大，可實現的頻寬範圍亦增大。將表 4-2 整理成圖 4.3 與圖 4.4。

由表 4-2 可以發現一個問題：為何在單階電路中，隨著比例頻寬增加時，設計與模擬結果間的差距亦會逐漸增大？這是因為當比例頻寬增加時，兩線間的線距愈加靠近，等效介電常數亦會增加，所以此時電氣長度 θ 並不為 $\pi/2$ ，應為比例頻寬的函數。故 (2.29) 不再是定值， $\cos\theta \approx 0$ 、 $\sin\theta \approx 1$ 的近似亦不成立，此為誤差增大的主因。由

模擬結果得知誤差皆在 10 % 內，仍屬可接受之範圍，故可視為相等。由上述之分析，可驗證之前所推導理論的正確性。線距的限制是帶拒濾波器在 PCB 板實作中所遭遇的最大問題，可藉由改變 Z_k 值或引進三線的結構，以達到較高的頻寬，如圖 4.2 與 4.3 所示。

4-2 五階電路

本節設計四個五階電路，並搭配模擬與量測結果來做合成之說明。極平坦低通濾波器原型電路中之五階元件值分別為 $g_1 = 0.6180$ 、 $g_2 = 1.6180$ 、 $g_3 = 2.0000$ 、 $g_4 = 1.6180$ 與 $g_5 = 0.6180$ 。

4-2.1 平行耦合微帶線帶拒濾波器(兩線)

第一個電路的規格：由 4-1.1 可知，線距可實現的最小尺寸為 0.13 mm 左右，因此選定 $Z_k = 50 \Omega$ ，最小線距設定為 0.13 mm，根據圖 4.2 可知，比例頻寬為 6.5%。其中，耦合線段長度為 15.1432 mm，開路殘段傳輸線長度為 15.1528 mm 且寬度為 1.18 mm。將各 g_i 值所對應到各耦合級的參數整理於表 4-3。

表 4-3 FBW = 6.5%，最小設定線距 $S = 0.13 \text{ mm}$ ， $Z_k = 50 \Omega$ 之五階平行耦合微帶線帶拒濾波器對應到的各耦合級尺寸參數

g_i 值	L (nH)	Z_{0e} (Ω)	W (mm)
		Z_{0o} (Ω)	S (mm)
0.618	99.051	62.3661	1.143
		37.6338	0.5958
1.618	37.833	69.5317	1.0689
		30.4682	0.195
2.000	30.607	71.5224	1.041
		28.4775	0.1365

圖 4.5(a)為FBW = 6.5%，最小設定線距S = 0.13 mm， $Z_k = 50 \Omega$ 之五階平行耦合微帶線帶拒濾波器電路的模擬與量測結果，圖 4.5(b)為實作的電路。由量測結果可看出止帶內的反射損耗為 1.7396 dB，而介入損耗為 45 dB。其中 ω_1 與 ω_2 分別為 1.936 GHz與 2.0777 GHz，由 (2.43) 可知中心頻率為 2.005 GHz，比例頻寬為 7.067%，電路量測的結果與模擬結果相當符合。

第二個電路的規格：由 4-1.1 可知，比例頻寬會隨著 Z_k 的減少而增加。因此選定 Z_k 為 30Ω ，最小線距設定為 0.18 mm，由圖 4.2 可知，比例頻寬為 7%。其中，耦合線段長度為 14.9432 mm，開路殘段傳輸線長度為 16.5828 mm且寬度為 2.9385mm。將各 g_i 值所對應到各耦合級的參數整理於表 4-4。

表 4- 4 FBW = 7.0% ，最小設定線距S = 0.18 mm ， $Z_k = 30 \Omega$ 之五階

平行耦合微帶線帶拒濾波器對應到的各耦合級尺寸參數

g_i 值	L (nH)	Z_{0e} (Ω)	W (mm)
		Z_{0o} (Ω)	S (mm)
0.618	91.975	61.4647	1.15
		38.5353	0.65
1.618	35.13	68.6762	1.086
		31.92374	0.246
2.000	28.42	69.906	1.064
		30.0939	0.181

圖 4.6(a)為FBW = 7.0% ，最小設定線距S = 0.18 mm ， $Z_k = 30 \Omega$ 之五階平行耦合微帶線帶拒濾波器電路的模擬與量測結果，圖 4.6(b)為實作的電路。由量測結果可看出止帶內的反射損耗為 1.49 dB ，而介入損耗為 42 dB 。其中 ω_1 與 ω_2 分別為 1.9186 GHz與 2.0629 GHz ，由 (2.43) 可知中心頻率為 1.99 GHz ，比例頻寬為 7.25% ，電路量測的結果與模擬結果相當符合。

4-2.2 平行三線耦合微帶線帶拒濾波器(三線)

第三個電路的規格：為了驗證之前所推導的理論在多階電路合成仍成立，並與第二個電路比較。因此選定 $Z_k = 30 \Omega$ 且比例頻寬仍為 7% ，由圖 4.3 可知此時最小間距為 0.435 mm 。其中，耦合線段長度為 14.9432 mm ，開路殘段傳輸線長度為 16.4528 mm且寬度為 2.9385mm。將所求得的 $m_1 Z_{m1}$ 與 $m_3 Z_{m3}$ 之值代入 SDA中，並將各 g_i 值

所對應到各耦合級的參數整理於表 4-5。

表 4-5 FBW = 7.0%，最小設定線距 $S = 0.435 \text{ mm}$ ， $Z_k = 30 \Omega$ 之五階
平行耦合三線微帶線帶拒濾波器對應到的各耦合級尺寸參數

g_i 值	L (nH)	$m_1 Z_{m1}$	W (mm)
		$m_3 Z_{m3}$	S (mm)
0.618	91.975	21.7310	1.15
		13.6242	1.03
1.618	35.13	24.0685	1.122
		11.2867	0.53
2.000	28.42	24.7155	1.11
		10.6398	0.435

圖 4.7(a) 為 FBW = 7.0%，最小設定線距 $S = 0.435 \text{ mm}$ ， $Z_k = 30 \Omega$ 之五階平行耦合三線微帶線帶拒濾波器電路的模擬與量測結果，圖 4.7(b) 為實作的電路。因三線結構為上下對稱，所以每階間需保留一段間距 0.2 mm。由量測結果可看出止帶內的反射損耗為 1.5267 dB，而介入損耗為 38 dB。其中 ω_1 與 ω_2 分別為 1.9261 GHz 與 2.0481 GHz，由 (2.43) 可知中心頻率為 1.986 GHz，比例頻寬為 6.143%。

第四個電路：為與第一個電路做比較，因此選定 $Z_k = 50 \Omega$ ，最小線距設定為 0.13 mm，根據圖 4.3 可知，此時比例頻寬為 12%。其中，耦合線段長度為 14.7932 mm，開路殘段傳輸線長度為 15.2726 mm 且

寬度為 1.18 mm。將所求得的 $m_1 Z_{m1}$ 與 $m_3 Z_{m3}$ 之值代入 SDA中，並將各 g_i 值所對應到各耦合級的參數整理於表 4-6。

表 4-6 FBW = 12%，最小設定線距 $S = 0.13$ mm， $Z_k = 50 \Omega$ 之五階平

行耦合三線微帶線帶拒濾波器對應到的各耦合級尺寸參數

g_i 值	L (nH)	$m_1 Z_{m1}$	W (mm)
		$m_3 Z_{m3}$	S (mm)
0.618	53.653	23.5427	1.13
		11.8125	0.594
1.618	20.493	26.7714	1.056
		8.5838	0.198
2.000	16.579	27.6338	1.031
		7.7215	0.134

圖 4.8(a)為FBW = 12%，最小設定線距 $S = 0.13$ mm， $Z_k = 50 \Omega$ 之五階平行耦合三線微帶線帶拒濾波器電路的模擬與量測結果，圖 4.8(b)為實作的電路。每階間間距為 0.2 mm。由量測結果可看出止帶內的反射損耗為 1.13 dB，而介入損耗為 48 dB。其中 ω_1 與 ω_2 分別為 1.873 GHz與 2.0927 GHz，由 (2.43) 可知中心頻率為 1.98 GHz，比例頻寬為 11.1%。

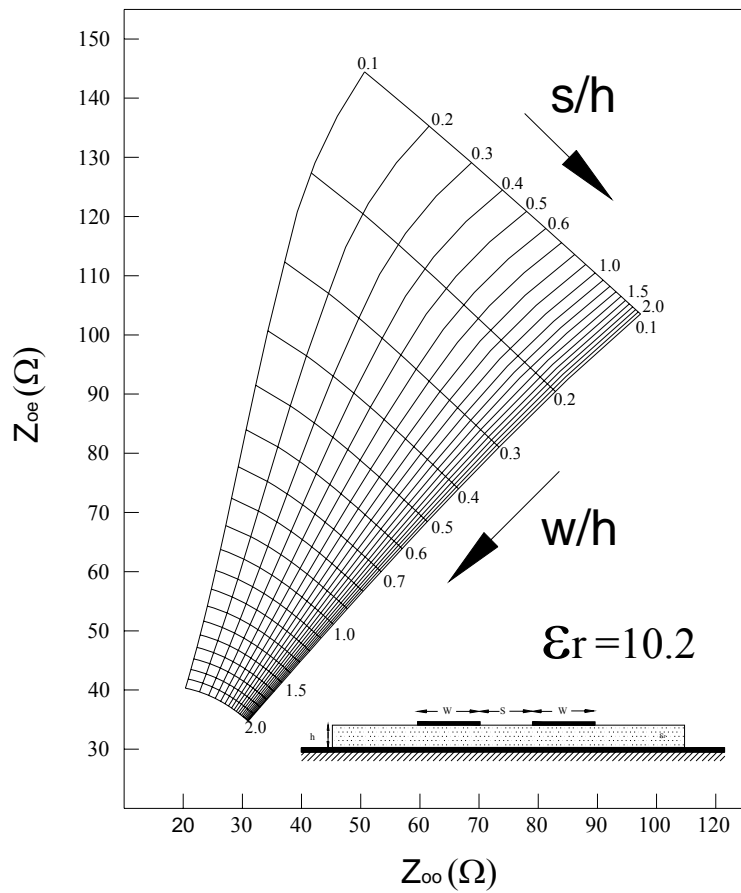


圖 4.1 耦合微帶線的偶模與奇模特性阻抗設計曲線

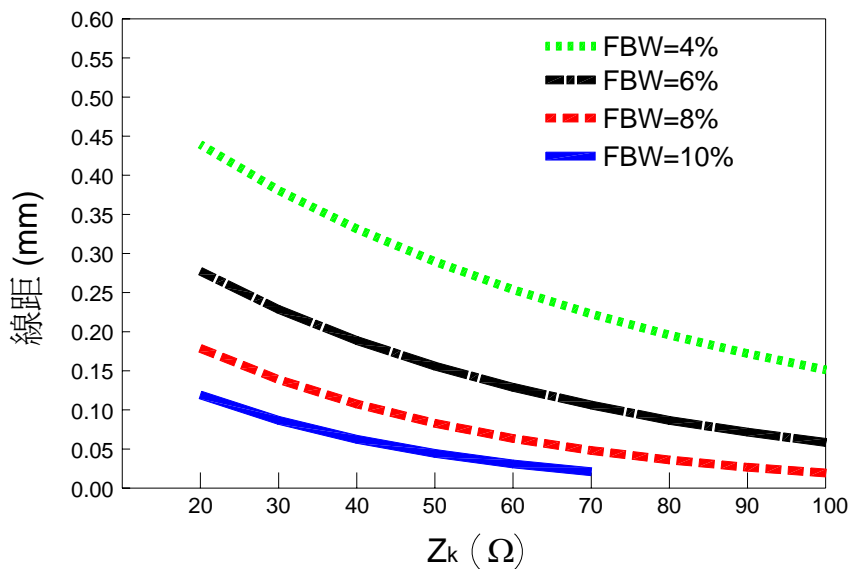


圖 4.2 一階平行耦合兩線帶拒濾波器在不同比例頻寬下，開路殘段

傳輸線阻抗與線距的關係圖

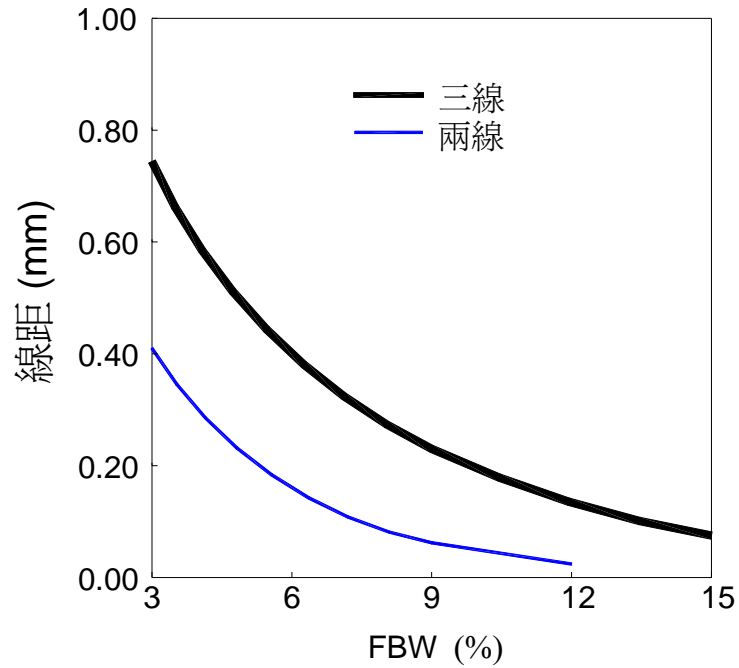


圖 4.3 在開路殘段傳輸線阻抗為 50Ω 下，一階平行耦合兩線與三線帶

拒濾波器的比例頻寬與線距之比較圖



FBW = 6%

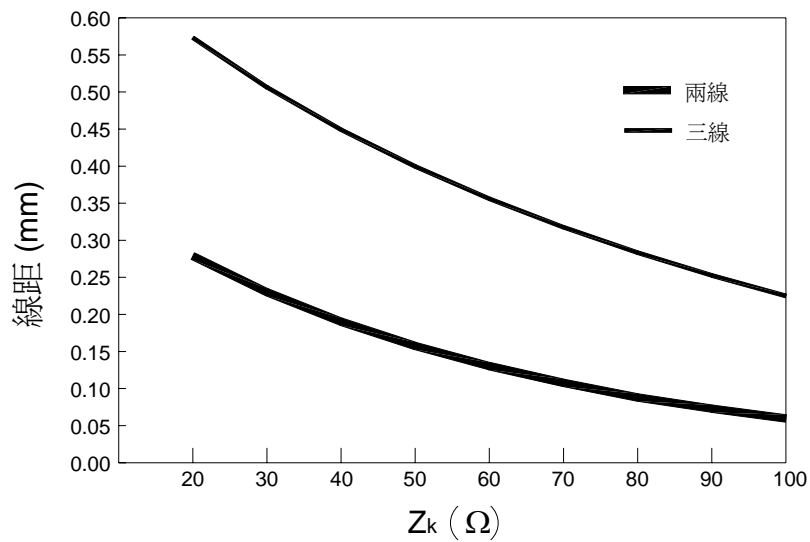


圖 4.4 在固定的比例頻寬下，一階平行耦合兩線與三線帶拒濾波器的

開路殘段傳輸線阻抗與線距之比較圖

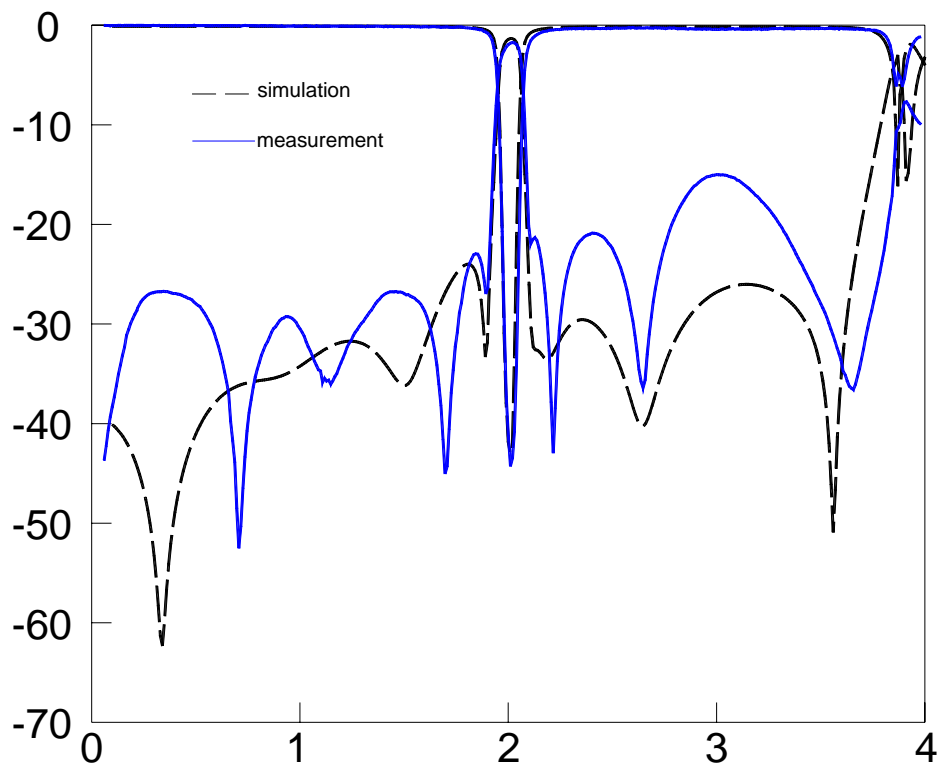


圖 4.5 (a) $FBW = 6.5\%$ ，最小設定線距 $S = 0.13 \text{ mm}$ ， $Z_k = 50 \Omega$ 之五階
 平行耦合微帶線帶拒濾波器之電路量測與模擬結果

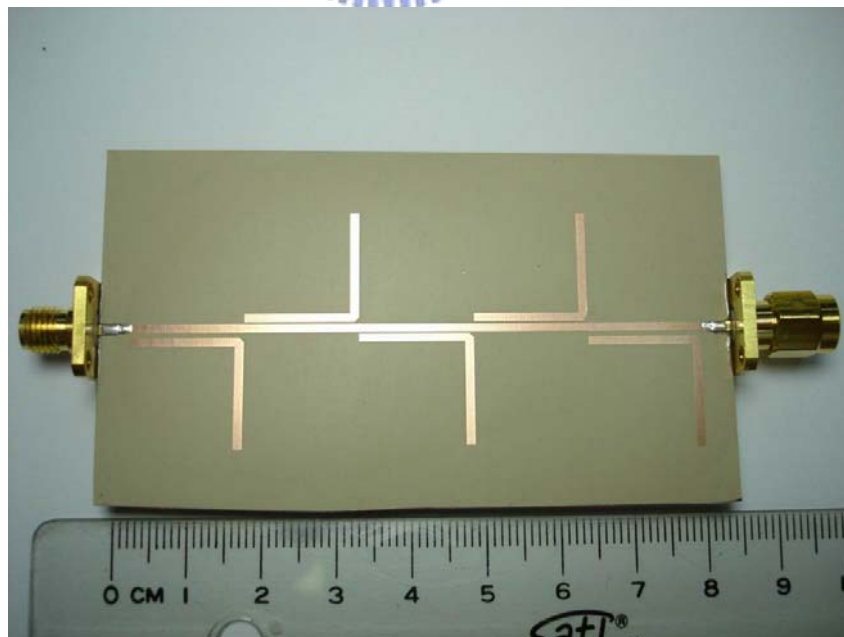


圖 4.5 (b)實作照片

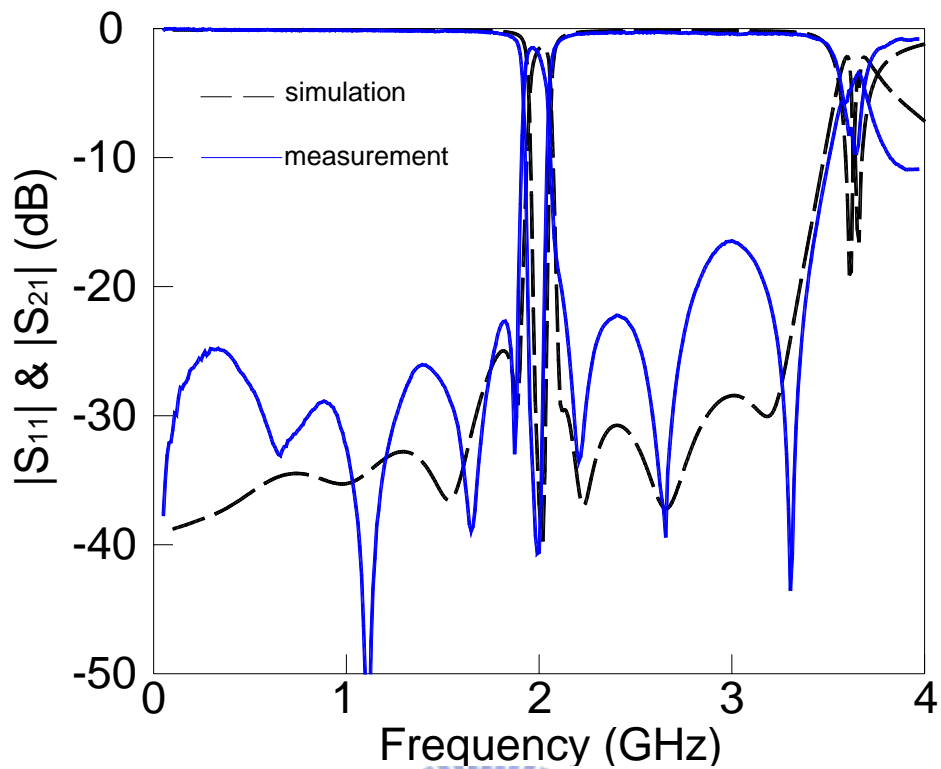


圖 4.6 (a) $FBW = 7.0\%$ ，最小設定線距 $S = 0.18 \text{ mm}$ ， $Z_k = 30 \Omega$ 之五階
 平行耦合微帶線帶拒濾波器之電路量測與模擬結果

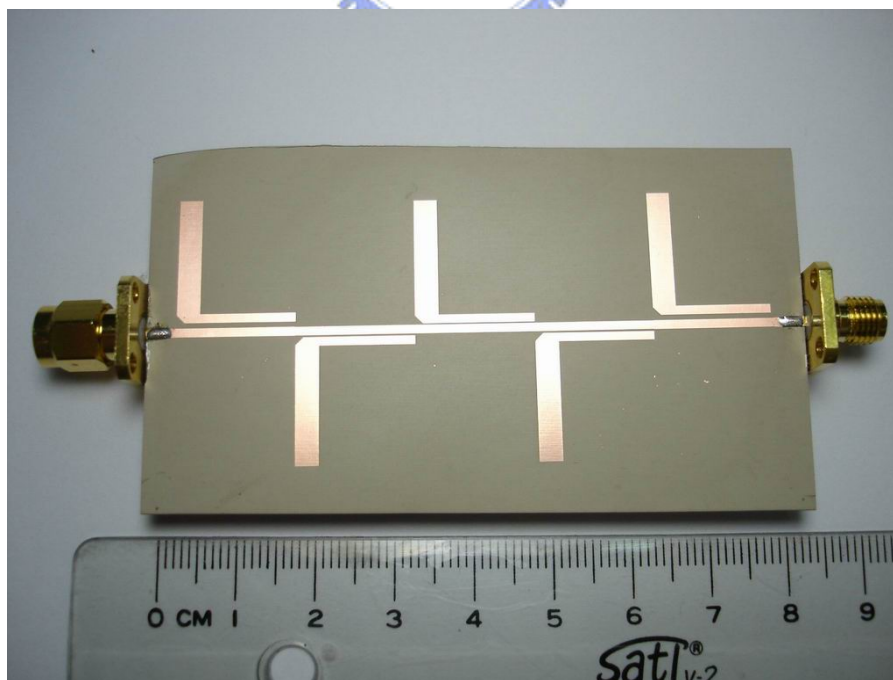


圖 4.6 (b) 實作照片

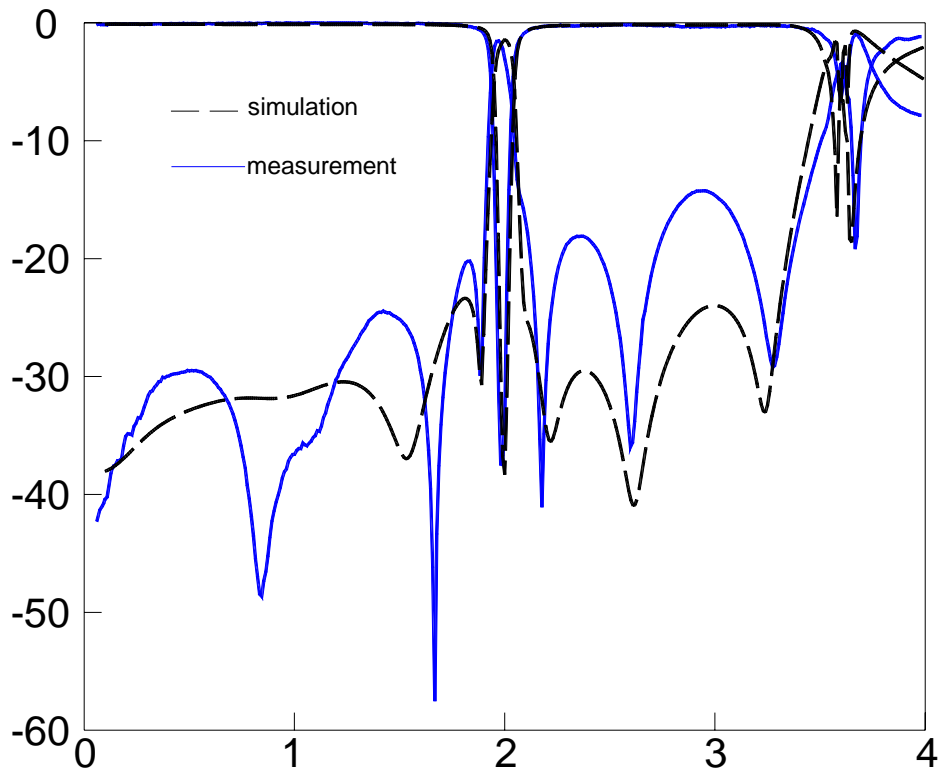


圖 4.7 (a) $FBW = 7.0\%$ ，最小設定線距 $S = 0.435 \text{ mm}$ ， $Z_k = 30 \Omega$ 之五階
 平行耦合三線微帶線帶拒濾波器之電路量測與模擬結果

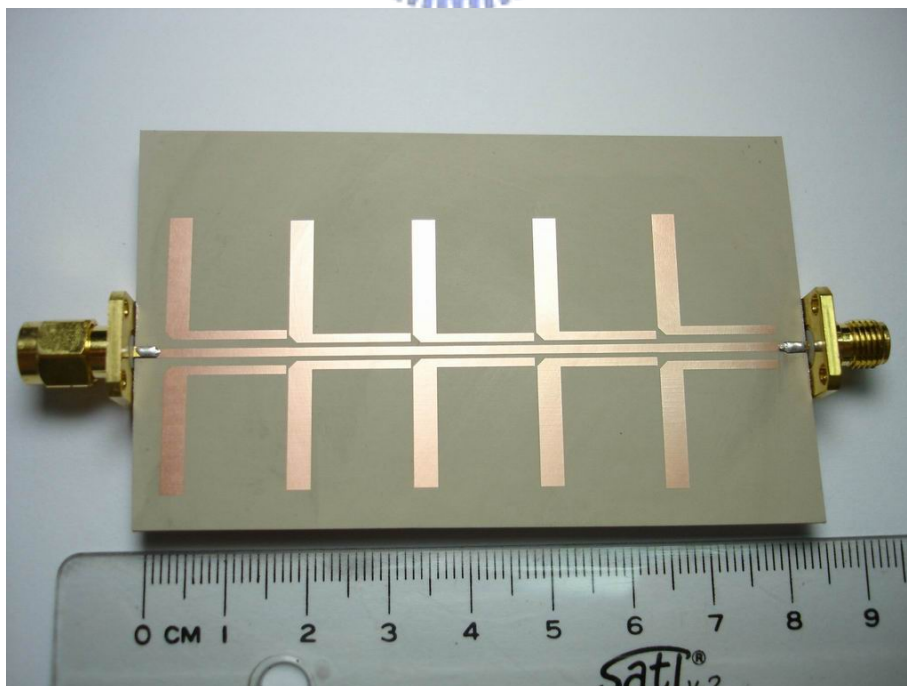


圖 4.7 (b)實作照片

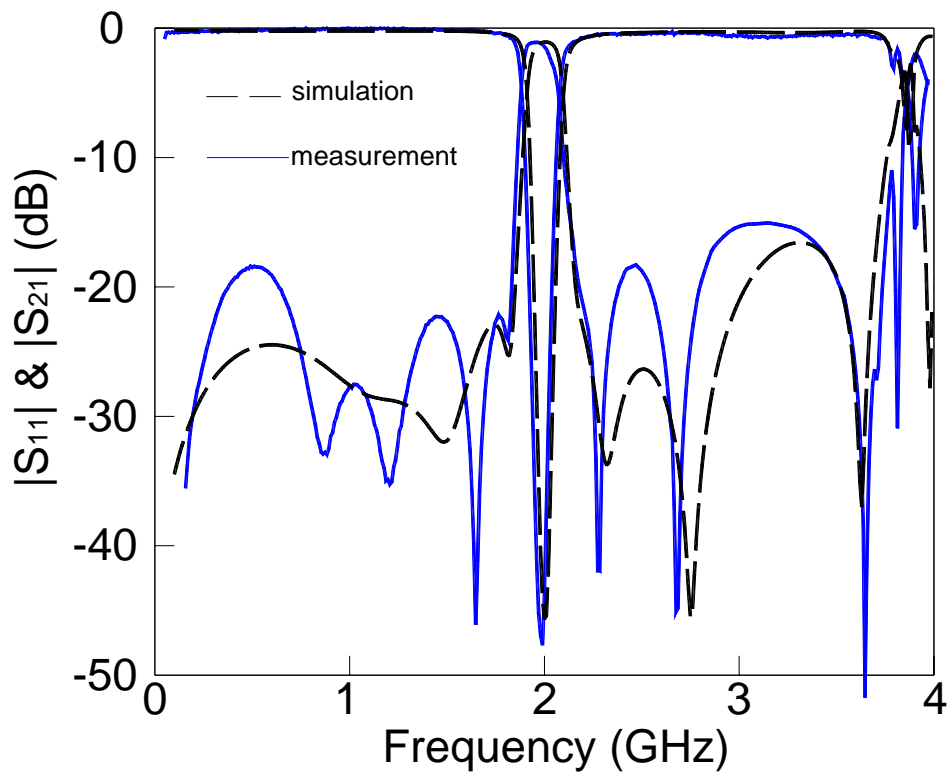


圖 4.8 (a) $FBW = 12\%$ ，最小設定線距 $S = 0.13 \text{ mm}$ ， $Z_k = 50 \Omega$ 之五階平行耦合三線微帶線帶拒濾波器之電路量測與模擬結果

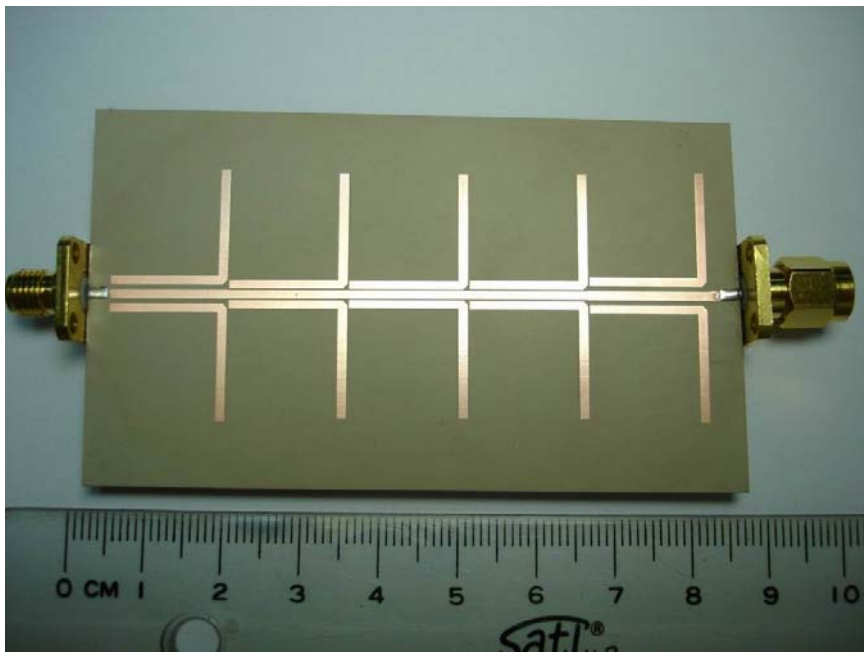


圖 4.8 (b) 實作照片

第五章 結論

在帶拒濾波器設計方法[1]中，需先選定線寬與開路殘段傳輸線的阻抗，藉由改變線距以達到設計之目的地，因此減少了一個自由度的選擇性。本文所提出之設計方法，線寬與線距皆非定值，且可搭配不同的開路殘段傳輸線阻抗值，因此設計的選擇性較高。首先，本文將以一個平行耦合微帶線帶拒濾波器為基礎，經由其等效電路推導出的合成公式，獲得設計時所需的線寬與線距，進而設計出一個窄頻的帶拒濾波器。並成功的結合兩線與三線之設計原理，使得在 PCB 板的製成限制下，可達到較高的比例頻寬。文中並針對不同的開路殘段傳輸線阻抗 Z_k 提出討論，在相同線距限制下，比例頻寬會隨著 Z_k 的減少而增加。在電路中，先經由兩線與三線的單階電路模擬，以驗證所提出之理論的正確性，再利用合成的方法，以達到多階電路之設計目的。根據文中的方式，製作數個帶拒濾波器的電路，並比較兩線與三線的量測與模擬結果，兩者幾乎一致。

參考文獻

- [1] Hong J.S. and Lancaster M. J., 'Microstrip Filters for RF/Microwave Applications' (John Wiley & Sons, Inc. 2001).
- [2] L. Young, G. L. Matthaei, and E. M. T. Jones, "Microwave band-stop filters with narrow stop bands," IEEE Trans. Microwave Theory Tech., vol. MTT-10, pp. 416-427, Nov. 1962.
- [3] G. L. Matthaei, L. Young, and E. M. T. Jones, Microwave Filters, Impedance-Matching Network, and Coupling Structures, Norwood MA: Artech House, 1980.
- [4] B. M Schiffman and G L Matthaël, " Exact design of band-stop microwave filters," IEEE Trans. Microwave Theory Tech., vol. MTI-12, pp. 6-15, Jan. 1964.
- [5] H. C. Bell, "Bandwidth adjustment in iterative approximation procedures," IEEE Trans. Circuits Syst., vol. CAS-25, pp. 951-954, Dec. 1978.
- [6] H. C. Bell, "Narrow bandstop filters," IEEE Trans Microwave TheoryTech., vol MTT-39, pp 2188-2191, Dec 1991.
- [7] D. M. Pozar, Microwave Engineering, John Wiley & Sons, New York, 1998, 2nd Ed.
- [8] R. SCHWINDT. and C. NGUYEN, " Spectral domain analysis of three symmetric coupled lines and application to a novel band pass filter," IEEE Trans. Microwave Theory Tech., 1994, 42, (7), pp. 1183-1189.
- [9] J.-T. Kuo, "Accurate quasi-TEM spectral domain analysis of single and multiple coupled microstrip lines of arbitrary metallization thickness," IEEE Trans. Microwave Theory Tech., 1995, 43, (8), pp.1881-1888.

- [10] J.-T. Kuo and E. Shih, "Wideband bandpass filter design with three-line microstrip structures," 2001 IEEE MTT-S Int. Microwave Symp. Dig., pp.1593-1596, May 2001.
- [11] C. R. Paul, *Analysis of Multiconductor Transmission Lines*, New York: John Wiley & Sons,1994.
- [12] Zeland Software Inc.,IE3D simulator, Jan.1997.

